

# Un approccio combinatorio alla poset topology: EL-shellability e algebra booleana

**Candidato:**

Alessio Sgubin

**Relatore:**

Michele D'Adderio

Corso di Laurea Triennale in Matematica  
Università di Pisa

22 settembre 2023

Intuizione geometrica

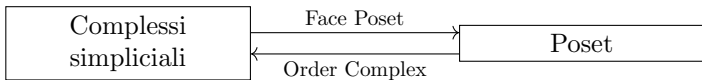
Struttura algebrica

Complessi  
simpliciali

Poset

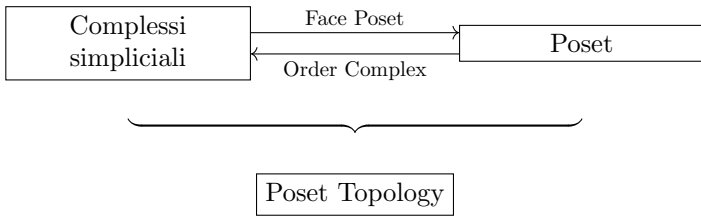
Intuizione geometrica

Struttura algebrica



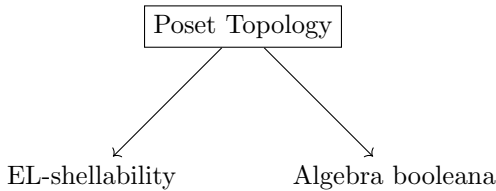
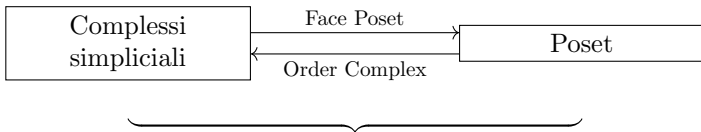
Intuizione geometrica

Struttura algebrica



Intuizione geometrica

Struttura algebrica



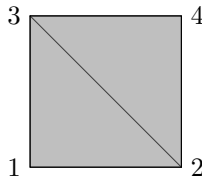
## Sezione 1

# Complessi simpliciali e poset

# Complessi simpliciali

## Definizione 1 (Complesso simpliciale astratto)

- **Vertici:** un insieme finito  $V$
- **Complesso simpliciale astratto:** un insieme  $\Delta \subseteq \mathcal{P}(V)$  con
  - ▶  $\{v\} \in \Delta$  per ogni  $v \in V$ .
  - ▶ se  $G \in \Delta$  e  $F \subseteq G$  allora  $F \in \Delta$ .
- **Facce:**  $F \in \Delta$
- **Facette:** facce massimali in  $(\Delta, \subseteq)$

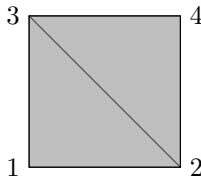


$$\Delta = \left\{ \begin{array}{l} \{1\}, \{2\}, \{3\}, \{4\}, \\ \{1, 2\}, \{1, 3\}, \{2, 3\}, \{3, 4\}, \\ \{2, 4\}, \{1, 2, 3\}, \{2, 3, 4\} \end{array} \right\}$$

# Complessi simpliciali

## Definizione 1 (Complesso simpliciale astratto)

- **Vertici:** un insieme finito  $V$
- **Complesso simpliciale astratto:** un insieme  $\Delta \subseteq \mathcal{P}(V)$  con
  - ▶  $\{v\} \in \Delta$  per ogni  $v \in V$ .
  - ▶ se  $G \in \Delta$  e  $F \subseteq G$  allora  $F \in \Delta$ .
- **Facce:**  $F \in \Delta$
- **Facette:** facce massimali in  $(\Delta, \subseteq)$

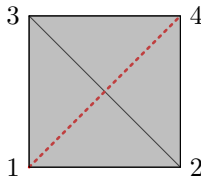


$$\Delta = \left\{ \begin{array}{l} \{1\}, \{2\}, \{3\}, \{4\}, \\ \{1, 2\}, \{1, 3\}, \{2, 3\}, \{3, 4\}, \\ \{2, 4\}, \{1, 2, 3\}, \{2, 3, 4\} \end{array} \right\}$$

# Complessi simpliciali

## Definizione 1 (Complesso simpliciale astratto)

- **Vertici:** un insieme finito  $V$
- **Complesso simpliciale astratto:** un insieme  $\Delta \subseteq \mathcal{P}(V)$  con
  - ▶  $\{v\} \in \Delta$  per ogni  $v \in V$ .
  - ▶ se  $G \in \Delta$  e  $F \subseteq G$  allora  $F \in \Delta$ .
- **Facce:**  $F \in \Delta$
- **Facette:** facce massimali in  $(\Delta, \subseteq)$



$$\Delta = \left\{ \begin{array}{l} \{1\}, \{2\}, \{3\}, \{4\}, \\ \{1, 2\}, \{1, 3\}, \{2, 3\}, \{3, 4\}, \\ \{2, 4\}, \{1, 2, 3\}, \{2, 3, 4\} \end{array} \right\}$$

{1, 4}

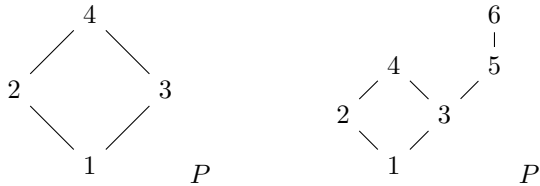


# Insiemi parzialmente ordinati

## Definizione 2 (Poset)

- **Poset:** una coppia  $(P, <_P)$
- **Poset limitato:** esistono  $\hat{0}, \hat{1}$  minimo e massimo di  $<_P$
- **Poset ridotto:**  $\overline{P} = P \setminus \{\hat{0}, \hat{1}\}$

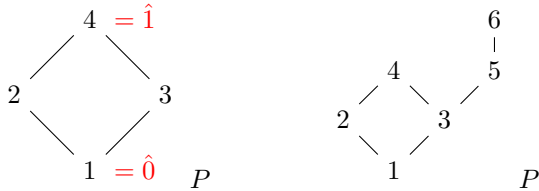
- **Diagramma di Hasse:**



# Insiemi parzialmente ordinati

## Definizione 2 (Poset)

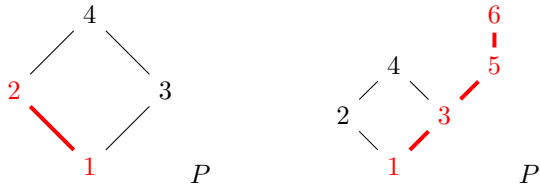
- **Poset**: una coppia  $(P, <_P)$
  - Poset **limitato**: esistono  $\hat{0}, \hat{1}$  minimo e massimo di  $<_P$
  - Poset **ridotto**:  $\overline{P} = P \setminus \{\hat{0}, \hat{1}\}$
- **Diagramma di Hasse**:



# Insiemi parzialmente ordinati

## Definizione 3 (Catena)

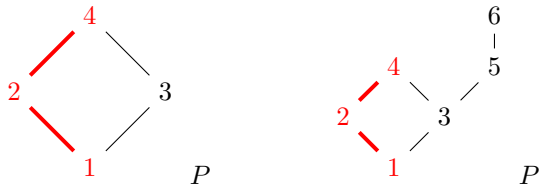
- **Catena:** sottoinsieme  $\mathbf{c} \subseteq P$  tale che  $(\mathbf{c}, <_P)$  è ordine totale
- Catena **massimale:** catena che è massimo in  $(\mathcal{M}(P), \subseteq)$
- **Lunghezza:**  $|\mathbf{c}| - 1$



# Insiemi parzialmente ordinati

## Definizione 3 (Catena)

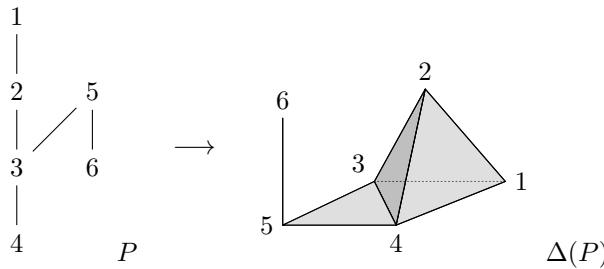
- **Catena:** sottoinsieme  $\mathbf{c} \subseteq P$  tale che  $(\mathbf{c}, <_P)$  è ordine totale
- Catena **massimale:** catena che è massimo in  $(\mathcal{M}(P), \subseteq)$
- **Lunghezza:**  $|\mathbf{c}| - 1$



# Order complex

Definizione 4 (Order complex)

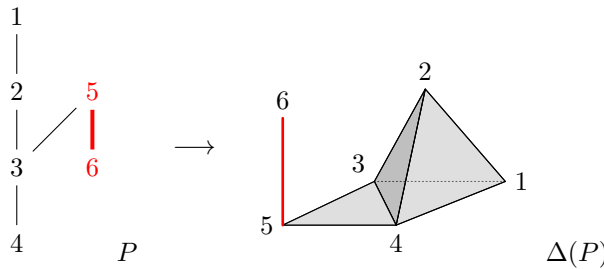
- **Order complex** di  $P$ : un complesso simpliciale astratto  $\Delta(P)$ 
  - ▶ **vertici** sono gli elementi di  $P$
  - ▶ **facce** sono le catene di  $P$



# Order complex

## Definizione 4 (Order complex)

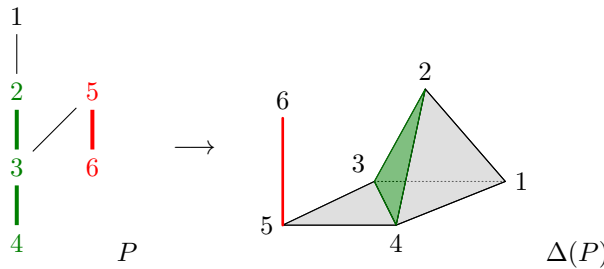
- **Order complex** di  $P$ : un complesso simpliciale astratto  $\Delta(P)$ 
  - ▶ **vertici** sono gli elementi di  $P$
  - ▶ **facce** sono le catene di  $P$



# Order complex

## Definizione 4 (Order complex)

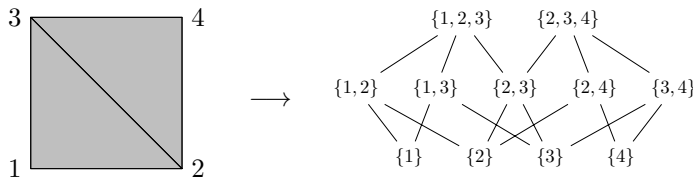
- **Order complex** di  $P$ : un complesso simpliciale astratto  $\Delta(P)$ 
  - ▶ **vertici** sono gli elementi di  $P$
  - ▶ **facce** sono le catene di  $P$



# Face poset

## Definizione 5

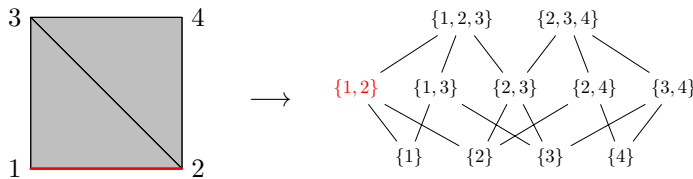
- **Face poset** di  $\Delta$ : un poset  $(P(\Delta), <)$  con
  - ▶ elementi dati da  $\Delta \setminus \emptyset$
  - ▶ relazione  $<$  data dall'inclusione  $\subset$



# Face poset

## Definizione 5

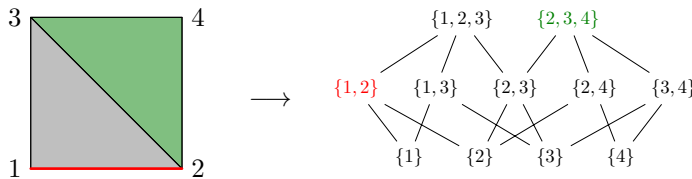
- **Face poset** di  $\Delta$ : un poset  $(P(\Delta), <)$  con
  - ▶ elementi dati da  $\Delta \setminus \emptyset$
  - ▶ relazione  $<$  data dall'inclusione  $\subset$



# Face poset

## Definizione 5

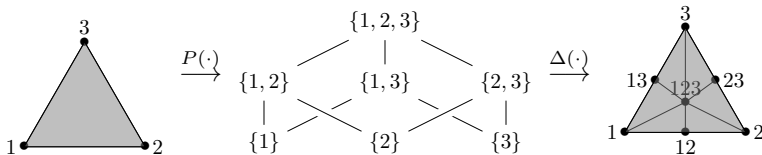
- **Face poset** di  $\Delta$ : un poset  $(P(\Delta), <)$  con
  - ▶ elementi dati da  $\Delta \setminus \emptyset$
  - ▶ relazione  $<$  data dall'inclusione  $\subset$



# Suddisione baricentrica

## Proposizione 6

$\Delta(P(\Delta))$  è la **suddisione baricentrica** del complesso  $\Delta$



# Omologia di poset

Siano  $P$  poset e  $\mathbb{K} = \mathbb{Z}$  o campo.

- **Complesso di catene:** per  $j \geq -1$

$$C_j(P; \mathbb{K}) = \mathbb{K}\text{-modulo libero generato dalle } j\text{-catene}$$

- Mappa di bordo:

$$\begin{aligned} \partial_j : \quad C_j(P; \mathbb{K}) &\longrightarrow \quad C_{j-1}(P; \mathbb{K}) \\ (x_0 < \cdots < x_j) &\longmapsto \sum_{i=0}^j (-1)^i (x_0 < \cdots < \widehat{x}_i < \cdots < x_j) \end{aligned}$$

- Omologia di poset:

$$\begin{cases} B_j(P; \mathbb{K}) = \text{Im } \partial_{j+1} \\ Z_j(P; \mathbb{K}) = \ker \partial_j \end{cases}$$

$$\tilde{H}_j(P; \mathbb{K}) = Z_j(P; \mathbb{K}) / B_j(P; \mathbb{K})$$

# Omologia di poset

Siano  $P$  poset e  $\mathbb{K} = \mathbb{Z}$  o campo.

- **Complesso di catene:** per  $j \geq -1$

$$C_j(P; \mathbb{K}) = \mathbb{K}\text{-modulo libero generato dalle } j\text{-catene}$$

- **Mappa di bordo:**

$$\begin{aligned} \partial_j : \quad C_j(P; \mathbb{K}) &\longrightarrow \quad C_{j-1}(P; \mathbb{K}) \\ (x_0 < \cdots < x_j) &\longmapsto \sum_{i=0}^j (-1)^i (x_0 < \cdots < \hat{x}_i < \cdots < x_j) \end{aligned}$$

- **Omologia di poset:**

$$\begin{cases} B_j(P; \mathbb{K}) = \text{Im } \partial_{j+1} \\ Z_j(P; \mathbb{K}) = \ker \partial_j \end{cases}$$

$$\tilde{H}_j(P; \mathbb{K}) = Z_j(P; \mathbb{K}) / B_j(P; \mathbb{K})$$

# Omologia di poset

Siano  $P$  poset e  $\mathbb{K} = \mathbb{Z}$  o campo.

- **Complesso di catene:** per  $j \geq -1$

$$C_j(P; \mathbb{K}) = \mathbb{K}\text{-modulo libero generato dalle } j\text{-catene}$$

- **Mappa di bordo:**

$$\begin{aligned} \partial_j : \quad C_j(P; \mathbb{K}) &\longrightarrow \quad C_{j-1}(P; \mathbb{K}) \\ (x_0 < \cdots < x_j) &\longmapsto \sum_{i=0}^j (-1)^i (x_0 < \cdots < \hat{x}_i < \cdots < x_j) \end{aligned}$$

- **Omologia di poset:**

$$\begin{cases} B_j(P; \mathbb{K}) = \text{Im } \partial_{j+1} \\ Z_j(P; \mathbb{K}) = \ker \partial_j \end{cases} \quad \tilde{H}_j(P; \mathbb{K}) = Z_j(P; \mathbb{K}) \diagup B_j(P; \mathbb{K})$$

# Coomologia di poset

Siano  $P$  poset e  $\mathbb{K} = \mathbb{Z}$  o campo.

- **Complesso di cocatene:** per  $j \geq -1$

$C_j(P; \mathbb{K}) = \mathbb{K}\text{-modulo libero generato dalle } j\text{-catene}$

- **Mappa di cobordo:**

$$\begin{aligned} \delta_j : \quad C_j(P; \mathbb{K}) &\rightarrow C_{j+1}(P; \mathbb{K}) \\ (x_0 < \cdots < x_j) &\mapsto \sum_{i=0}^{j+1} (-1)^i \sum_{y \in (x_{i-1}, x_i)} (x_0 < \cdots < x_{i-1} < y < x_i < \cdots < x_j) \end{aligned}$$

- **Coomologia di poset:**

$$\begin{cases} B^j(P; \mathbb{K}) = \text{Im } \delta_{j-1} \\ Z^j(P; \mathbb{K}) = \ker \delta_j \end{cases}$$

$$\tilde{H}^j(P; \mathbb{K}) = Z^j(P; \mathbb{K}) / B^j(P; \mathbb{K})$$

## Sezione 2 EL-shellability

# Shellability

- **Complesso puro:** faccette di dimensione uguale

## Definizione 7 (Complesso simpliciale shellable)

- **Complesso shellable:** esiste un ordine  $F_1, F_2, \dots, F_n$  delle faccette tale che per  $j = 1, 2, \dots, n - 1$  il sottocomplesso

$$\left( \bigcup_{i=1}^{j-1} \langle F_i \rangle \right) \cap \langle F_j \rangle \quad \begin{array}{l} \blacktriangleright \text{ è puro} \\ \blacktriangleright \text{ ha dimensione } \dim(F_j) - 1 \end{array}$$

# Shellability

- **Complesso puro:** faccette di dimensione uguale

Definizione 7 (Complesso simpliciale shellable)

- **Complesso shellable:** esiste un ordine  $F_1, F_2, \dots, F_n$  delle faccette tale che per  $j = 1, 2, \dots, n - 1$  il sottocomplesso

$$\left( \bigcup_{i=1}^{j-1} \langle F_i \rangle \right) \cap \langle F_j \rangle \quad \begin{array}{l} \blacktriangleright \text{ è puro} \\ \blacktriangleright \text{ ha dimensione } \dim(F_j) - 1 \end{array}$$

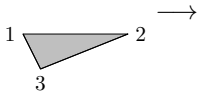
# Shellability

- **Complesso puro:** faccette di dimensione uguale

Definizione 7 (Complesso simpliciale shellable)

- **Complesso shellable:** esiste un ordine  $F_1, F_2, \dots, F_n$  delle faccette tale che per  $j = 1, 2, \dots, n - 1$  il sottocomplesso

$$\left( \bigcup_{i=1}^{j-1} \langle F_i \rangle \right) \cap \langle F_j \rangle \quad \begin{array}{l} \blacktriangleright \text{ è puro} \\ \blacktriangleright \text{ ha dimensione } \dim(F_j) - 1 \end{array}$$



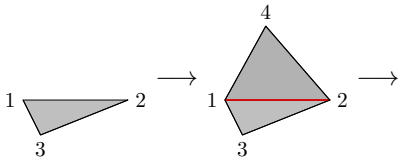
# Shellability

- **Complesso puro:** faccette di dimensione uguale

Definizione 7 (Complesso simpliciale shellable)

- **Complesso shellable:** esiste un ordine  $F_1, F_2, \dots, F_n$  delle faccette tale che per  $j = 1, 2, \dots, n - 1$  il sottocomplesso

$$\left( \bigcup_{i=1}^{j-1} \langle F_i \rangle \right) \cap \langle F_j \rangle \quad \begin{array}{l} \blacktriangleright \text{ è puro} \\ \blacktriangleright \text{ ha dimensione } \dim(F_j) - 1 \end{array}$$



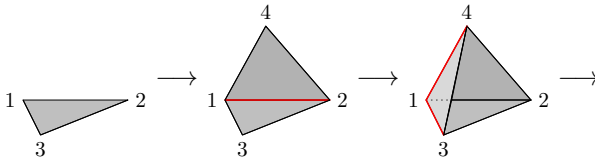
# Shellability

- **Complesso puro:** faccette di dimensione uguale

Definizione 7 (Complesso simpliciale shellable)

- **Complesso shellable:** esiste un ordine  $F_1, F_2, \dots, F_n$  delle faccette tale che per  $j = 1, 2, \dots, n - 1$  il sottocomplesso

$$\left( \bigcup_{i=1}^{j-1} \langle F_i \rangle \right) \cap \langle F_j \rangle \quad \begin{array}{l} \blacktriangleright \text{ è puro} \\ \blacktriangleright \text{ ha dimensione } \dim(F_j) - 1 \end{array}$$



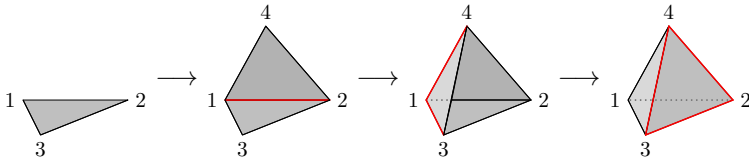
# Shellability

- **Complesso puro:** faccette di dimensione uguale

Definizione 7 (Complesso simpliciale shellable)

- **Complesso shellable:** esiste un ordine  $F_1, F_2, \dots, F_n$  delle faccette tale che per  $j = 1, 2, \dots, n - 1$  il sottocomplesso

$$\left( \bigcup_{i=1}^{j-1} \langle F_i \rangle \right) \cap \langle F_j \rangle \quad \begin{array}{l} \blacktriangleright \text{ è puro} \\ \blacktriangleright \text{ ha dimensione } \dim(F_j) - 1 \end{array}$$



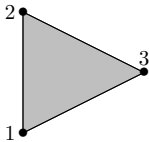
# Shellability

- **Complesso puro:** faccette di dimensione uguale

Definizione 7 (Complesso simpliciale shellable)

- **Complesso shellable:** esiste un ordine  $F_1, F_2, \dots, F_n$  delle faccette tale che per  $j = 1, 2, \dots, n - 1$  il sottocomplesso

$$\left( \bigcup_{i=1}^{j-1} \langle F_i \rangle \right) \cap \langle F_j \rangle \quad \begin{array}{l} \blacktriangleright \text{ è puro} \\ \blacktriangleright \text{ ha dimensione } \dim(F_j) - 1 \end{array}$$



# Shellability

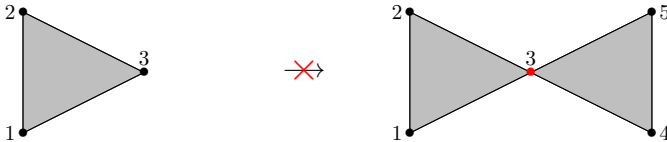
- **Complesso puro:** faccette di dimensione uguale

Definizione 7 (Complesso simpliciale shellable)

- **Complesso shellable:** esiste un ordine  $F_1, F_2, \dots, F_n$  delle faccette tale che per  $j = 1, 2, \dots, n - 1$  il sottocomplesso

$$\left( \bigcup_{i=1}^{j-1} \langle F_i \rangle \right) \cap \langle F_j \rangle$$

- ▶ è puro
- ▶ ha dimensione  $\dim(F_j) - 1$

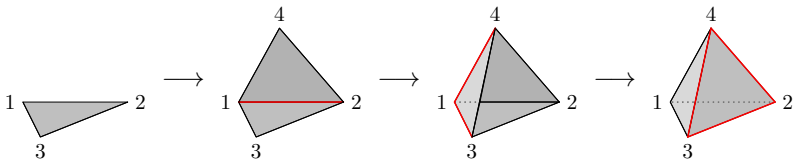


# Shellability

## Teorema 8

Ogni complesso shellable ha omotopia di tipo **wedge di sfere**:

$$\#\{i\text{-sfere del wedge}\} = \#\{\text{faccette omologiche di dimensione } i\}$$

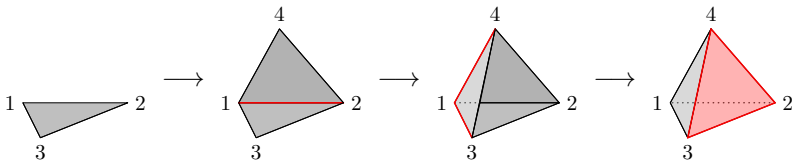


# Shellability

## Teorema 8

Ogni complesso shellable ha omotopia di tipo **wedge di sfere**:

$$\#\{i\text{-sfere del wedge}\} = \#\{\text{faccette omologiche di dimensione } i\}$$



Faccetta omologica

$$\partial F_j \subseteq \bigcup_{i=1}^{j-1} \langle F_i \rangle$$

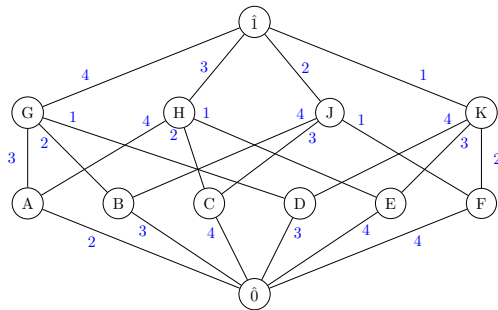
# EL-shellability

- Edge labeling per un poset  $P$ :

$$\lambda : \mathcal{E}(P) \longrightarrow \mathbb{Z}$$

- Word associata a  $\mathbf{c} : (x_0 < x_1 < \dots < x_n)$  massimale:

$$\lambda(\mathbf{c}) = \lambda(x_0, x_1)\lambda(x_1, x_2) \dots \lambda(x_{n-1}, x_n)$$



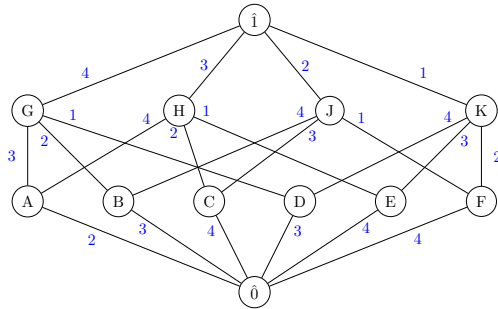
# EL-shellability

- Edge labeling per un poset  $P$ :

$$\lambda : \mathcal{E}(P) \longrightarrow \mathbb{Z}$$

- Word associata a  $\mathbf{c} : (x_0 < x_1 < \dots < x_n)$  massimale:

$$\lambda(\mathbf{c}) = \lambda(x_0, x_1)\lambda(x_1, x_2) \dots \lambda(x_{n-1}, x_n)$$

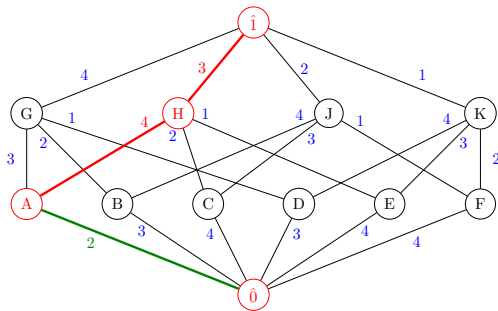


# EL-shellability

- **Word** associata a  $\mathbf{c} : (x_0 < x_1 < \dots < x_n)$  massimale:

$$\lambda(\mathbf{c}) = \lambda(x_0, x_1)\lambda(x_1, x_2) \dots \lambda(x_{n-1}, x_n)$$

$$(\hat{0} < A < H < \hat{1}) \leftrightarrow 2$$

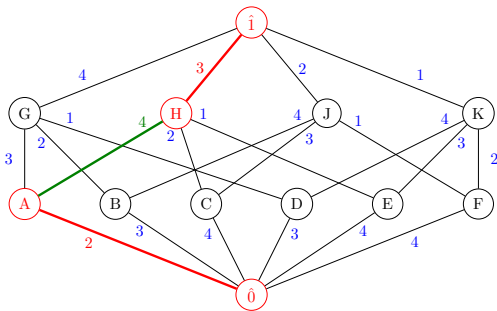


# EL-shellability

- **Word** associata a  $\mathbf{c} : (x_0 < x_1 < \dots < x_n)$  massimale:

$$\lambda(\mathbf{c}) = \lambda(x_0, x_1)\lambda(x_1, x_2) \dots \lambda(x_{n-1}, x_n)$$

$$(\hat{0} < A < H < \hat{1}) \leftrightarrow 24$$

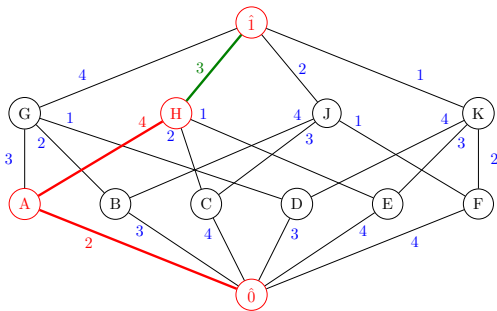


# EL-shellability

- **Word** associata a  $\mathbf{c} : (x_0 < x_1 < \dots < x_n)$  massimale:

$$\lambda(\mathbf{c}) = \lambda(x_0, x_1)\lambda(x_1, x_2) \dots \lambda(x_{n-1}, x_n)$$

$$(\hat{0} < A < H < \hat{1}) \leftrightarrow 243$$



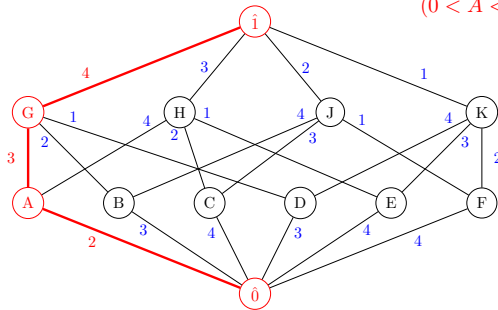
# EL-shellability

- **Word** associata a  $\mathbf{c} : (x_0 < x_1 < \dots < x_n)$  massimale:

$$\lambda(\mathbf{c}) = \lambda(x_0, x_1)\lambda(x_1, x_2) \dots \lambda(x_{n-1}, x_n)$$

$$(\hat{0} < A < H < \hat{1}) \leftrightarrow 243$$

$$(\hat{0} < A < G < \hat{1}) \leftrightarrow 234$$



# EL-shellability

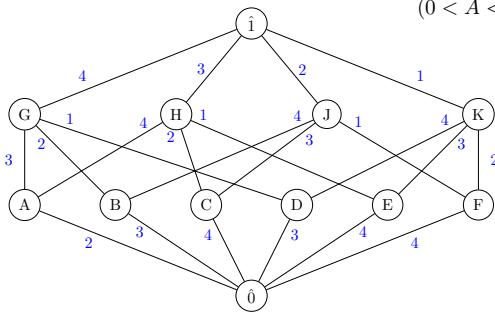
- **Word** associata a  $\mathbf{c} : (x_0 < x_1 < \dots < x_n)$  massimale:

$$\lambda(\mathbf{c}) = \lambda(x_0, x_1)\lambda(x_1, x_2) \dots \lambda(x_{n-1}, x_n)$$

$$(\hat{0} < A < H < \hat{1}) \leftrightarrow 243$$

$$(\hat{0} < A < G < \hat{1}) \leftrightarrow \underline{234}$$

increasing



# EL-shellability

Definizione 9 (Edge-lexicographic labeling)

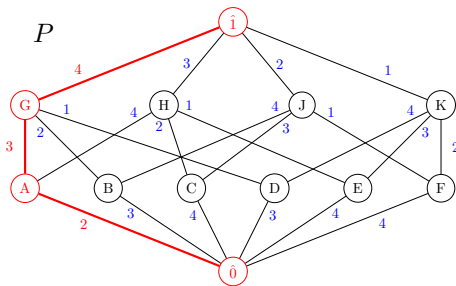
- **EL-labeling:**  $\lambda : \mathcal{E}(P) \rightarrow \mathbb{Z}$  tale che per  $P$  limitato
  - ▶ esiste un'unica  $\mathbf{c} \in \mathcal{M}(P)$  increasing
  - ▶  $\lambda(\mathbf{c}) = \min_{<_{\text{lex}}} \{\lambda(\mathbf{d}) \mid \mathbf{d} \in \mathcal{M}(P)\}$

$P$

# EL-shellability

Definizione 9 (Edge-lexicographic labeling)

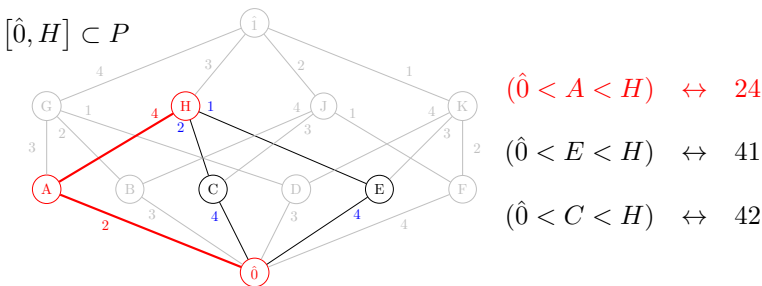
- **EL-labeling:**  $\lambda : \mathcal{E}(P) \rightarrow \mathbb{Z}$  tale che per  $P$  limitato
  - ▶ esiste un'unica  $\mathbf{c} \in \mathcal{M}(P)$  increasing
  - ▶  $\lambda(\mathbf{c}) = \min_{<_{\text{lex}}} \{\lambda(\mathbf{d}) \mid \mathbf{d} \in \mathcal{M}(P)\}$



# EL-shellability

Definizione 9 (Edge-lexicographic labeling)

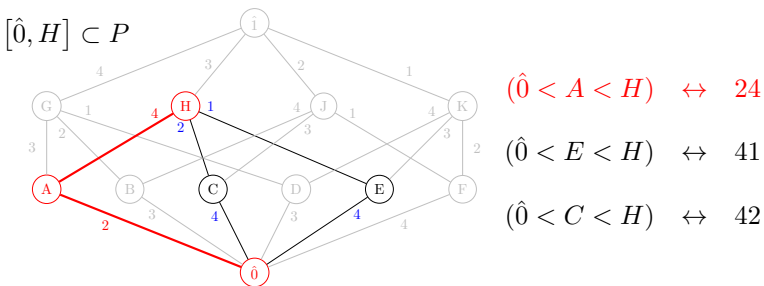
- **EL-labeling:**  $\lambda : \mathcal{E}(P) \rightarrow \mathbb{Z}$  tale che per ogni  $[x, y] \subseteq P$ 
  - ▶ esiste un'unica  $\mathbf{c} \in \mathcal{M}([x, y])$  increasing
  - ▶  $\lambda(\mathbf{c}) = \min_{<_{\text{lex}}} \{\lambda(\mathbf{d}) \mid \mathbf{d} \in \mathcal{M}([x, y])\}$



# EL-shellability

Definizione 9 (Edge-lexicographic labeling)

- **EL-labeling:**  $\lambda : \mathcal{E}(P) \rightarrow \mathbb{Z}$  tale che per ogni  $[x, y] \subseteq P$ 
    - ▶ esiste un'unica  $\mathbf{c} \in \mathcal{M}([x, y])$  increasing
    - ▶  $\lambda(\mathbf{c}) = \min_{<_{\text{lex}}} \{\lambda(\mathbf{d}) \mid \mathbf{d} \in \mathcal{M}([x, y])\}$
- $\Rightarrow$  **EL-shellability**

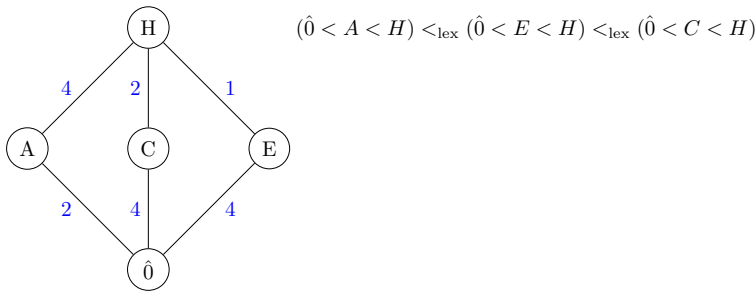


# Risultati

## Teorema 10 (Shelling order)

Sia  $P$  poset EL-shellable.

- l'ordine  $<_{lex}$  su  $\mathcal{M}(P) \rightsquigarrow$  shelling order di  $\Delta(P)$
- l'ordine indotto su  $\mathcal{M}(\bar{P}) \rightsquigarrow$  shelling order di  $\Delta(\bar{P})$

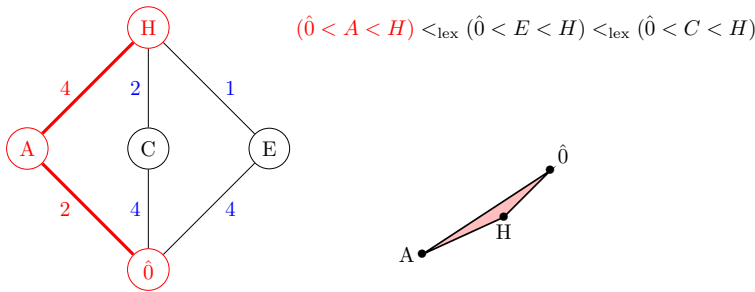


# Risultati

## Teorema 10 (Shelling order)

Sia  $P$  poset EL-shellable.

- l'ordine  $<_{lex}$  su  $\mathcal{M}(P) \rightsquigarrow$  shelling order di  $\Delta(P)$
- l'ordine indotto su  $\mathcal{M}(\bar{P}) \rightsquigarrow$  shelling order di  $\Delta(\bar{P})$

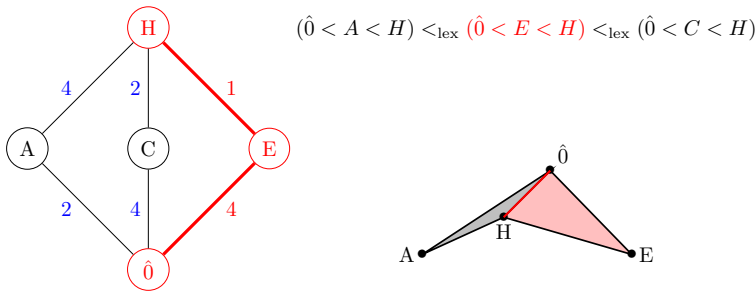


# Risultati

## Teorema 10 (Shelling order)

Sia  $P$  poset EL-shellable.

- l'ordine  $<_{lex}$  su  $\mathcal{M}(P) \rightsquigarrow$  shelling order di  $\Delta(P)$
- l'ordine indotto su  $\mathcal{M}(\overline{P}) \rightsquigarrow$  shelling order di  $\Delta(\overline{P})$

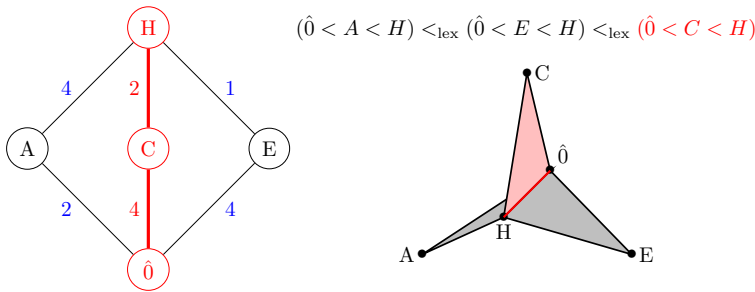


# Risultati

## Teorema 10 (Shelling order)

Sia  $P$  poset EL-shellable.

- l'ordine  $<_{lex}$  su  $\mathcal{M}(P) \rightsquigarrow$  shelling order di  $\Delta(P)$
- l'ordine indotto su  $\mathcal{M}(\overline{P}) \rightsquigarrow$  shelling order di  $\Delta(\overline{P})$

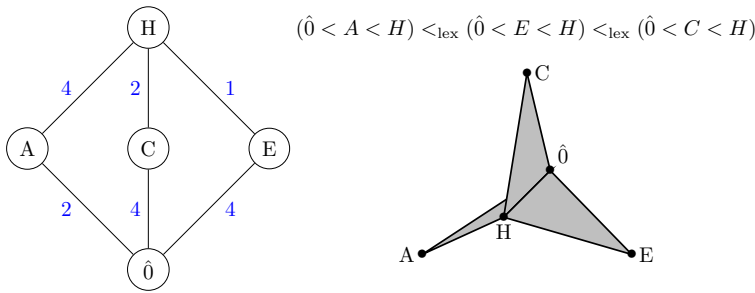


# Risultati

## Teorema 10 (Shelling order)

Sia  $P$  poset EL-shellable.

- l'ordine  $<_{lex}$  su  $\mathcal{M}(P) \rightsquigarrow$  shelling order di  $\Delta(P)$
- l'ordine indotto su  $\mathcal{M}(\overline{P}) \rightsquigarrow$  shelling order di  $\Delta(\overline{P})$

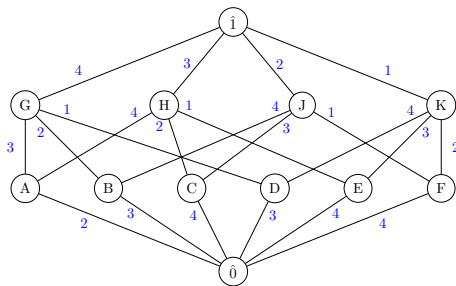


# Risultati

**Teorema 11 (Base coomologia di poset)**

Sia  $\hat{P} = P \cup \{\hat{0}, \hat{1}\}$  EL-shellable.

$\{\bar{c} \mid c \text{ è } (i+2)\text{-catena decreasing di } \hat{P}\}$  è base di  $\tilde{H}^i(P; \mathbb{C})$



Catene decreasing

$$c_1 : (\emptyset < \{3, 4\} < \{2, 3, 4\} < \{1, 2, 3, 4\})$$

$$c_2 : (\emptyset < \{2, 4\} < \{2, 3, 4\} < \{1, 2, 3, 4\})$$

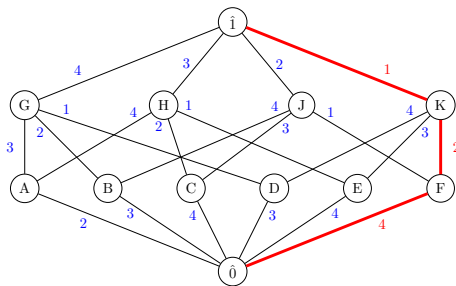
$$c_3 : (\emptyset < \{1, 4\} < \{1, 3, 4\} < \{1, 2, 3, 4\})$$

# Risultati

Teorema 11 (Base coomologia di poset)

Sia  $\hat{P} = P \cup \{\hat{0}, \hat{1}\}$  EL-shellable.

$\{\bar{c} \mid c \text{ è } (i+2)\text{-catena decreasing di } \hat{P}\}$  è base di  $\tilde{H}^i(P; \mathbb{C})$



Catene decreasing

$c_1 : (\emptyset < \{3, 4\} < \{2, 3, 4\} < \{1, 2, 3, 4\})$

$c_2 : (\emptyset < \{2, 4\} < \{2, 3, 4\} < \{1, 2, 3, 4\})$

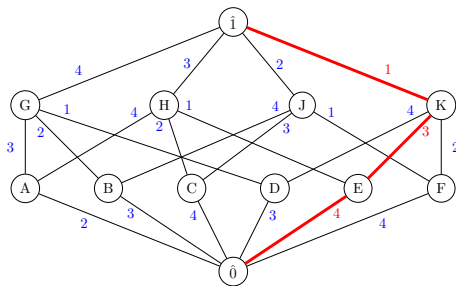
$c_3 : (\emptyset < \{1, 4\} < \{1, 3, 4\} < \{1, 2, 3, 4\})$

# Risultati

**Teorema 11 (Base coomologia di poset)**

Sia  $\hat{P} = P \cup \{\hat{0}, \hat{1}\}$  EL-shellable.

$\{\bar{c} \mid c \text{ è } (i+2)\text{-catena decreasing di } \hat{P}\}$  è base di  $\tilde{H}^i(P; \mathbb{C})$



Catene decreasing

$$c_1 : (\emptyset < \{3, 4\} < \{2, 3, 4\} < \{1, 2, 3, 4\})$$

$$c_2 : (\emptyset < \{2, 4\} < \{2, 3, 4\} < \{1, 2, 3, 4\})$$

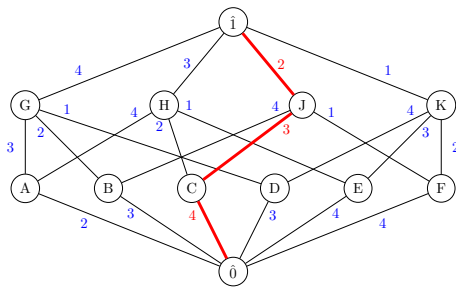
$$c_3 : (\emptyset < \{1, 4\} < \{1, 3, 4\} < \{1, 2, 3, 4\})$$

# Risultati

**Teorema 11 (Base coomologia di poset)**

Sia  $\hat{P} = P \cup \{\hat{0}, \hat{1}\}$  EL-shellable.

$\{\bar{c} \mid c \text{ è } (i+2)\text{-catena decreasing di } \hat{P}\}$  è base di  $\tilde{H}^i(P; \mathbb{C})$



Catene decreasing

$c_1 : (\emptyset < \{3, 4\} < \{2, 3, 4\} < \{1, 2, 3, 4\})$

$c_2 : (\emptyset < \{2, 4\} < \{2, 3, 4\} < \{1, 2, 3, 4\})$

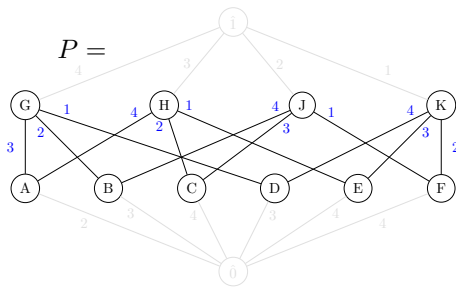
$c_3 : (\emptyset < \{1, 4\} < \{1, 3, 4\} < \{1, 2, 3, 4\})$

# Risultati

**Teorema 11 (Base coomologia di poset)**

Sia  $\hat{P} = P \cup \{\hat{0}, \hat{1}\}$  EL-shellable.

$\{\bar{c} \mid c \text{ è } (i+2)\text{-catena decreasing di } \hat{P}\}$  è base di  $\tilde{H}^i(P; \mathbb{C})$



$P =$

**Catene decreasing**

$$\bar{c}_1 : (\{3, 4\} < \{2, 3, 4\})$$

$$\bar{c}_2 : (\{2, 4\} < \{2, 3, 4\})$$

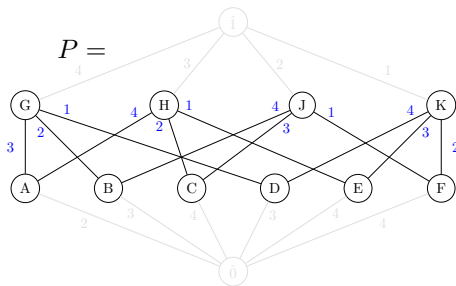
$$\bar{c}_3 : (\{1, 4\} < \{1, 3, 4\})$$

# Risultati

**Teorema 11 (Base coomologia di poset)**

Sia  $\hat{P} = P \cup \{\hat{0}, \hat{1}\}$  EL-shellable.

$\{\bar{\mathbf{c}} \mid \mathbf{c} \text{ è } (i+2)\text{-catena decreasing di } \hat{P}\}$  è base di  $\tilde{H}^i(P; \mathbb{C})$



**Catene decreasing**

$$\bar{\mathbf{c}}_1 : (\{3, 4\} < \{2, 3, 4\})$$

$$\bar{\mathbf{c}}_2 : (\{2, 4\} < \{2, 3, 4\})$$

$$\bar{\mathbf{c}}_3 : (\{1, 4\} < \{1, 3, 4\})$$

$$\tilde{H}^1(P) = \langle \bar{\mathbf{c}}_1, \bar{\mathbf{c}}_2, \bar{\mathbf{c}}_3 \rangle_{\mathbb{C}}$$

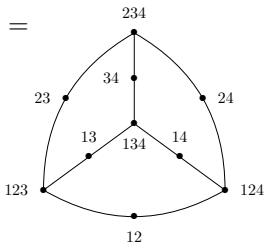
# Risultati

Teorema 11 (Base coomologia di poset)

Sia  $\hat{P} = P \cup \{\hat{0}, \hat{1}\}$  EL-shellable.

$\{\bar{\mathbf{c}} \mid \mathbf{c} \text{ è } (i+2)\text{-catena decreasing di } \hat{P}\}$  è base di  $\tilde{H}^i(P; \mathbb{C})$

$$\Delta(P) =$$



Catene decreasing

$$\bar{\mathbf{c}}_1 : (\{3, 4\} < \{2, 3, 4\})$$

$$\bar{\mathbf{c}}_2 : (\{2, 4\} < \{2, 3, 4\})$$

$$\bar{\mathbf{c}}_3 : (\{1, 4\} < \{1, 3, 4\})$$

$$\tilde{H}^1(P) = \langle \bar{\mathbf{c}}_1, \bar{\mathbf{c}}_2, \bar{\mathbf{c}}_3 \rangle_{\mathbb{C}}$$

Sezione 3  
Algebra booleana

# Definizione

## Definizione 12 (Algebra booleana)

- **Algebra booleana:** poset dato da

$$(B_n = \{F \subseteq [n]\}, \subset)$$

- **Algebra booleana troncata:** per  $0 \leq k \leq n$

$$(B_n^k = \{F \subseteq [n] \mid |F| \geq k\} \cup \{\emptyset\}, \subset)$$

# Definizione

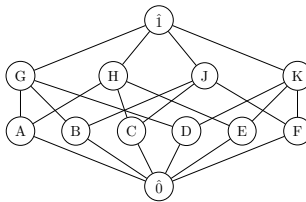
## Definizione 12 (Algebra booleana)

- **Algebra booleana:** poset dato da

$$(B_n = \{F \subseteq [n]\}, \subset)$$

- **Algebra booleana troncata:** per  $0 \leq k \leq n$

$$(B_n^k = \{F \subseteq [n] \mid |F| \geq k\} \cup \{\emptyset\}, \subset)$$



# Definizione

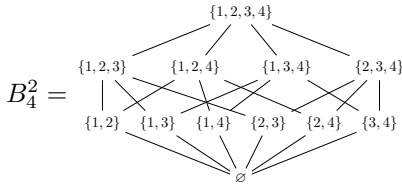
Definizione 12 (Algebra booleana)

- **Algebra booleana:** poset dato da

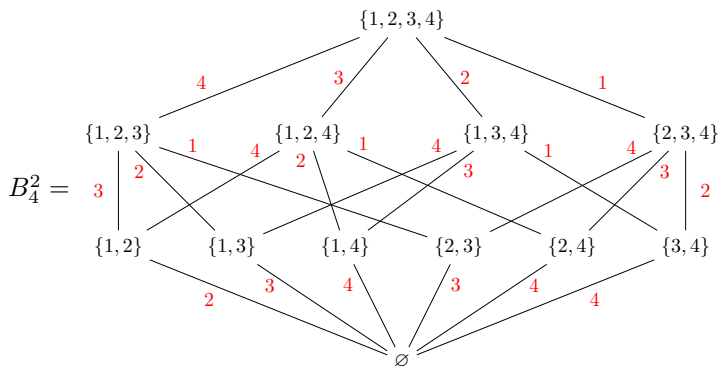
$$(B_n = \{F \subseteq [n]\}, \subset)$$

- **Algebra booleana troncata:** per  $0 \leq k \leq n$

$$(B_n^k = \{F \subseteq [n] \mid |F| \geq k\} \cup \{\emptyset\}, \subset)$$

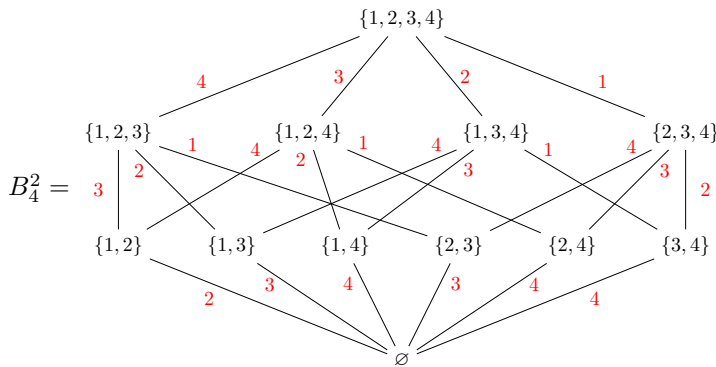


## EL-labeling



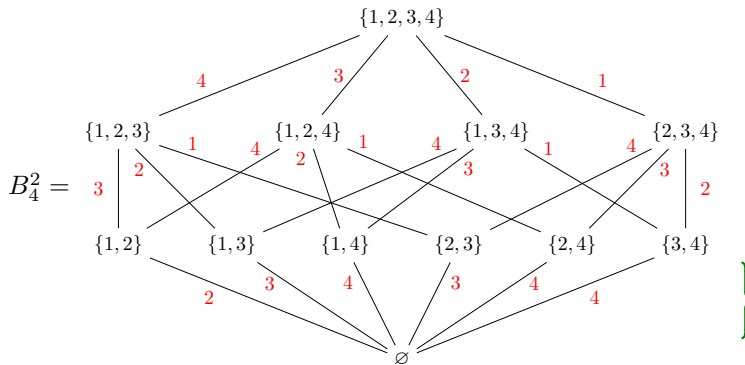
## EL-labeling

$$\lambda(F, G) = \begin{cases} \max G & \text{se } F = \emptyset \text{ e } |G| = k \\ a & \text{se } G \setminus F = \{a\} \end{cases}$$



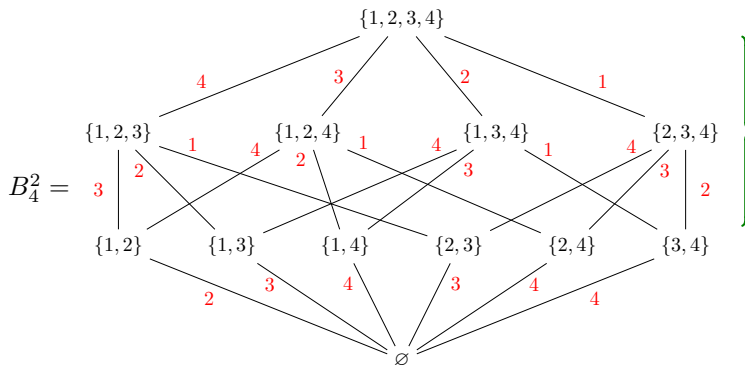
## EL-labeling

$$\lambda(F, G) = \begin{cases} \max G & \text{se } F = \emptyset \text{ e } |G| = k \\ a & \text{se } G \setminus F = \{a\} \end{cases}$$



## EL-labeling

$$\lambda(F, G) = \begin{cases} \max G & \text{se } F = \emptyset \text{ e } |G| = k \\ a & \text{se } G \setminus F = \{a\} \end{cases}$$



# Rappresentazione della coomologia

Teorema 13 (Solomon)

Dati  $0 \leq k \leq n$ , sia  $\lambda = (k, 1^{n-k})$ .

$$\tilde{H}^{n-k-1}(\overline{B}_n^k; \mathbb{C}) \cong_{\mathfrak{S}_n} S^\lambda$$

Grazie per l'attenzione!